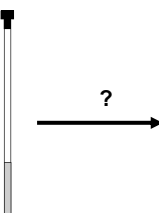


**U** Universitat de Barcelona

## Utilización combinada de experimentos 2D



Estrategias para la elucidación estructural




---



---



---



---



---



---



---



**U** Universitat de Barcelona

## Spectral Interpretation

*General Process for Structure Elucidation of an Unknown*

- Normally the molecular formula is derived from a combination of  $^{13}\text{C}$  NMR, DEPT and MS data.
- Using IR, UV and  $^{13}\text{C}$  NMR the functional groups can be proposed
- $^1\text{H}$  NMR coupling data or 2D NMR correlations are used to assemble substructures
- The substructures are then combined into ‘working structures’ using all possible combinations of the substructures
- Check structures for consistency with the 2D-NMR data and MS fragmentations etc.
- $^{13}\text{C}$  chemical shifts of the surviving structure(s) are then compared with literature, database or predicted values to confirm the 2D structure of the molecule.
- To determine the relative stereochemistry of the molecule,  $^1\text{H}$  coupling constant ( $J$ ) and Nuclear Overhauser (NOE) data is used

*Need to Verify as early as possible if the structure has already been identified*

- Don't want to waste time and effort re-discovering a compound
- Done by using a combination of molecular formula, substructure and chemical structure databases

*Nat. Prod. Rep., 1999, 16, 241-248*

Unitat de RMN Centres Científics i Tecnològics




---



---



---



---



---



---



---



**U** Universitat de Barcelona

## Experimentos básicos

- Experimentos 1D
  - Protón
  - Carbono 13 –DEPT
- Experimentos 2D
  - gHSQC Correlación 1H-13C, identificación protones geminales
  - Identificación de sistemas de spin
    - COSY
    - TOCSY
    - HSQC-TOCSY
  - Unión de subestructuras, asignación C cuaternarios
    - HMBC
    - H2BC
    - Inadecuado
  - Determinación estereoquímica
    - NOESY/ROESY
    - Análisis de los acoplamientos 1H-1H

Unitat de RMN Centres Científics i Tecnològics




---



---



---



---



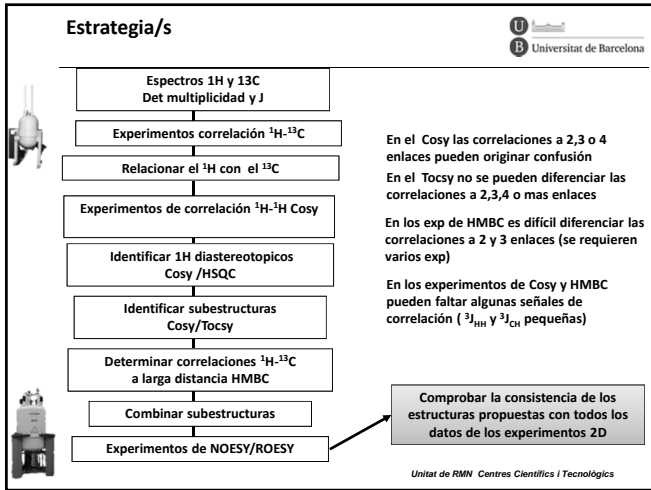
---



---



---



**Condiciones de adquisición I**

- gCOSY y COSY 45 (muy sensibles)
  - Exp con gradientes
  - Las señales fuera de la diagonal indican acoplamiento entre protones.
  - Exp previo:  
 $\Delta t=0.3s$   $d_1=0.8s$   $n_i=128$   $n_t=2$  tiempo: 10 minutos
  - Exp con más resolución y/o muestras diluidas  
 $\Delta t=0.3s$   $d_1=1s$   $n_i=256$   $n_t=2-4$  tiempo: 30 minutos.
  - Procesado en valor absoluto, función de procesado sine-bell squared, predicción lineal  $2^n_i$  en F1
- gDQFCOSY (sensible)
  - Filtro de doble cuarto (disminución intensidad de los singuletes)
  - Las señales fuera de la diagonal indican acoplamiento entre protones.
  - Exp previo:  
 $\Delta t=0.3s$   $d_1=1s$   $n_i=256-512$   $n_t=2-4$  tiempo: 30-60 minutos
  - Experimento sensible a la fase, función de procesado gaussian o seno-cuadrado, predicción lineal  $2^n_i$  en F1

Unitat de RMN Centres Científics i Tecnològics

**HSQC, HSQCAD, gHSQC, gHSQCAD, HMQC y gHMQC**

- Correlaciones  $^1\text{H}-^{13}\text{C}$  a un enlace  $J_{1\text{H}-13\text{C}}=110-146$  Hz
  - g: Uso de gradientes para la selección de la transferencia de coherencia (reducción de sensibilidad  $\sqrt{2}$ )
  - AD: Utilización de pulsos adiabáticos, compensan la dispersión de valores de  $J_{1\text{H}-13\text{C}}$  y mejoran los pulsos de  $180^\circ$
- gHSQC y gHSQCAD óptimos cuando se dispone de suficiente muestra como para que  $n_t=1$ . El gHSQCAD con  $n_t=2$  es preferible cuando el exp es editado
- En el HSQC y sus variantes las señales en F1 son más "agudas" ya que se elimina el acoplamiento  $^1\text{H}-^1\text{H}$  (en el HMQC no)
- El HSQC es más sensible a los errores de los pulsos que el HMQC (tiene más pulsos de  $180^\circ$ ). HMQC preferible en los equipos antiguos sin amplificadores lineales.
- Para compuestos de elevado peso molecular el HSQC es mejor que el HMQC ya que los tiempos internos de la secuencia son más pequeños

Unitat de RMN Centres Científics i Tecnològics

**Condiciones de adquisición (III)**

  Universitat de Barcelona

■ **gHSQC/gHSQCAD (elevada sensibilidad)**

- La relación de fases permite distinguir CH<sub>2</sub> de CH/CH<sub>3</sub>
- Exp previo:
- at=0.1-0.3s d1=1s ni=128 nt=1-2 J1xh=146 Hz tiempo: 15-20 minutos
- Exp con más resolución y/o muestras diluidas
- at=0.1-0.3s d1=1s ni=200 nt=4-8 J1xh=146 Hz tiempo: 40-60 minutos.
- Experimento sensible a la fase, función de procesado: gaussiana o sq-sinebell,
- predicción lineal 2-4 \*ni en F1 → Mejora de la resolución
- Ajuste sintonía, pulso de <sup>1</sup>H y <sup>13</sup>C en especial si la muestra tiene una fuerza iónica elevada

 Con nuevas secuencias ASAPHMQC es posible hacer el experimento en sólo 1-2 minutos

Unitat de RMN Centres Científics i Tecnològics

---



---



---



---



---



---



---



---

**HMBC/gHMBCAD**

  Universitat de Barcelona

Correlaciones <sup>1</sup>H-<sup>13</sup>C a larga distancia (2,3,4 enlaces)

■ Los delays de la seq dependen de la 1/J<sub>nch</sub>

- Menor sensibilidad
- Adquirido sin desacoplar <sup>13</sup>C (acoplamientos <sup>13</sup>C-<sup>1</sup>H en F2)
- Puede ser necesario adquirir varios experimentos para diversas J<sub>nch</sub> 3, 5 o 8 Hz

■ gHMBC experimento en valor absoluto

- Funcion de procesado sinebell en F1, F2
- Predicción lineal 2\*ni
  - Señales residuales de correlación a 1 enlace (doblete J<sub>H-13C</sub>)

■ gHMBCAD experimento en fase en F1 y Valor absoluto en F2

- Predicción lineal 2\*ni
- Sqsinewell en F1 y sqcosine en F2

Unitat de RMN Centres Científics i Tecnològics

---



---



---



---



---



---



---



---

**HMBC Condiciones de adquisición**

  Universitat de Barcelona

Condiciones iniciales:

at=0.1-0.3s d1=1s ni=200-256 nt=2 J1xh=140 Hz Jnxh=8 o 5 Hz  
tiempo 1-2 horas por exp

■ Exp con más resolución y/o para muestras diluidas

- at=0.1-0.3s d1=1s ni=400 nt=4-8 J1xh=140 Hz Jnxh=8 o 5 Hz  
tiempo 2-3 horas.
- Ajuste sintonía, y de los pulsos de <sup>1</sup>H y <sup>13</sup>C en especial si la muestra tiene una fuerza iónica elevada
- No es posible distinguir las correlaciones en función del número de enlaces

 Secuencias del tipo H2BC o CIGAR: filtros en función del número de enlaces

Unitat de RMN Centres Científics i Tecnològics

---



---



---



---



---



---



---



---

**Tocsy/zTocsy**

**■ Determinar sistemas de acoplamiento**  
Peptidos, polisacáridos

**■ Resolver ambigüedades del COSY**

**Condiciones**  
 $\Delta t=0.100-0.200s$   $d_1=1$   $n_i=256$   $n_t=2$   $mix=0.7-0.100$   
tiempo: 30-40 minutos  
Experimento en fase; función de procesado: gaussiana  
Predicción lineal  $n_i^2$

Unitat de RMN Centres Científics i Tecnològics

**NOESY / ROESY**

**■ Determinar relaciones espaciales**  
Protones próximos en el espacio (acoplamiento dipolar)

**■ NOESY**  
Moléculas pequeñas: SC signo contrario que SD (NOE +)  
Moléculas grandes: SC y SD de igual signo (NOE -)  
Moléculas medianas (aprox 800-1600 Da) NOE≈0

**■ ROESY**  
SC signo contrario que SD. Independiente del tamaño

**Condiciones**  
 $\Delta t=0.100-0.200s$   $d_1=1$   $n_i=256$   $n_t=4-8$  tiempo: 3-4 horas  
Noesy mix=0.100-1.0 s  
Roesy (mix=0.100- 0.300s)

Experimento en fase; función de procesado: gaussiana  
Predicción lineal  $n_i^2$ -4

Unitat de RMN Centres Científics i Tecnològics

**Pasos previos: Espectro de  ${}^1H$**

**Determinación del número de  ${}^1H$  y de su desplazamiento**

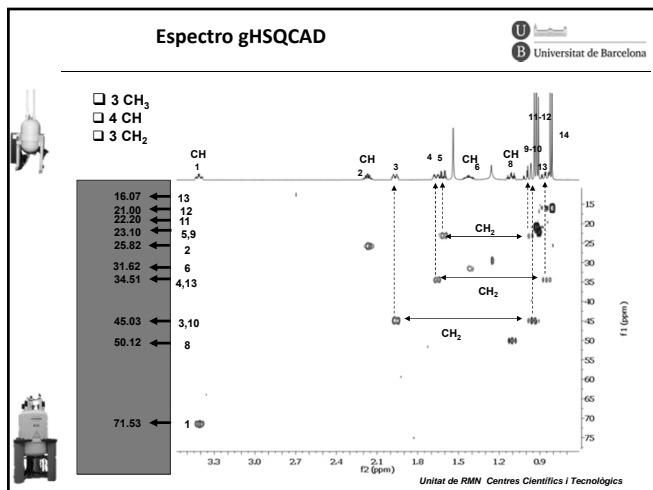
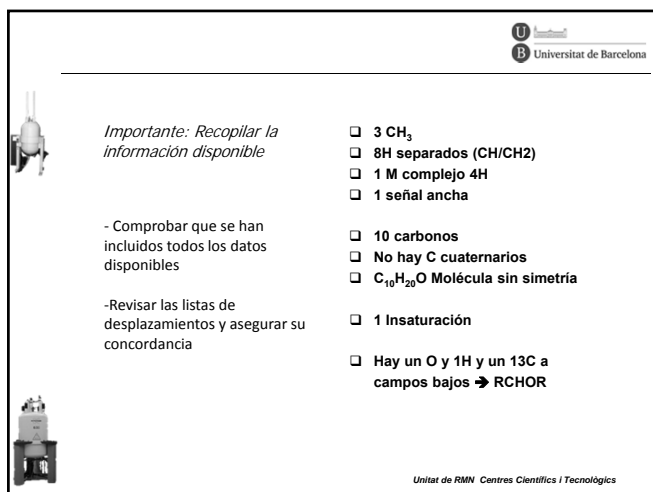
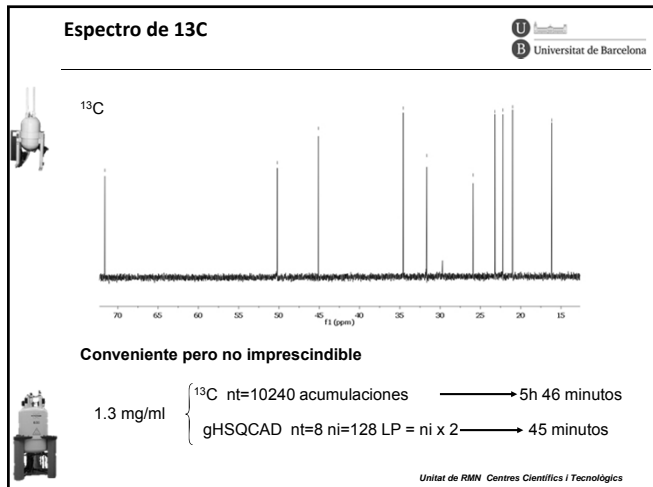
1.3 mg /ml  $cdcl_3$  temp=25 °C  
 3  $CH_3$   
 8H separados ( $CH/CH_2$ )  
 1 M complejo 4H  
 1 señal ancha

**Análisis elemental/masas/espectro de  ${}^{13}C$**

$U=C+1-1/2(H+X-N)$   
 $C_{10}H_{20}O$

$\left. \right\} \longrightarrow 1 \text{ insaturación/ciclo}$

Unitat de RMN Centres Científics i Tecnològics

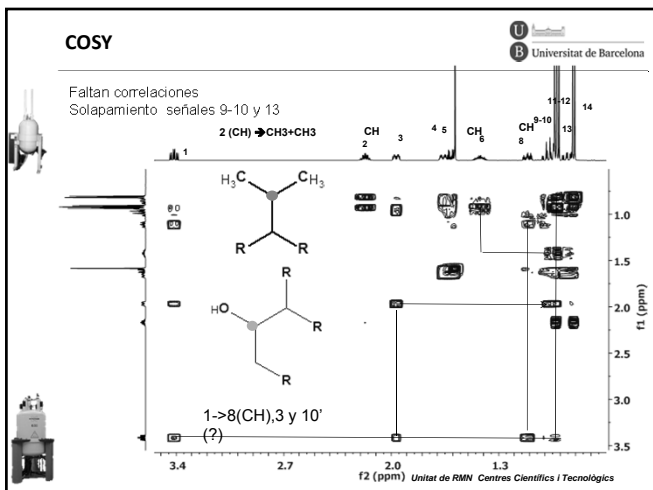
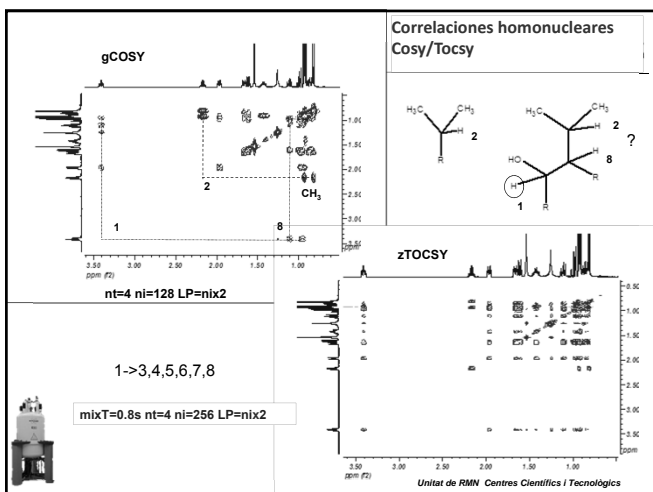


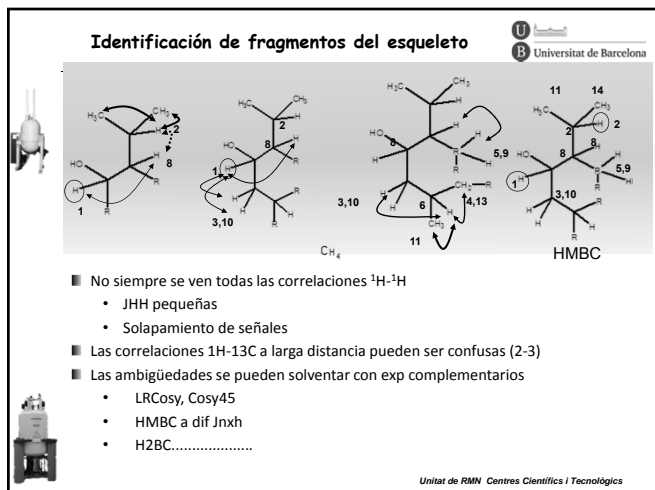
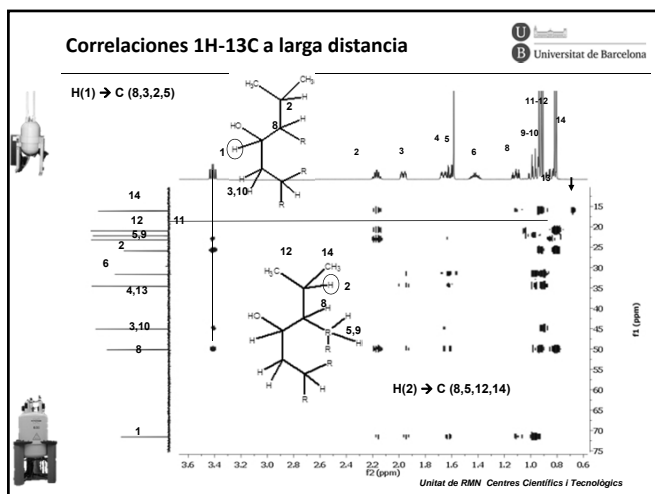
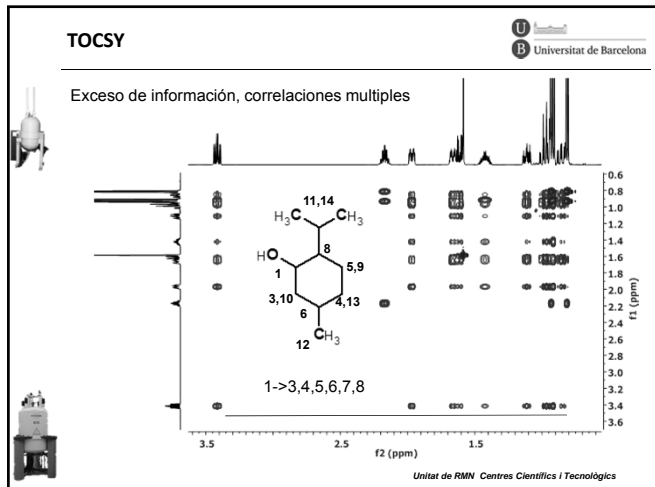
**Tabla de desplazamientos químicos**

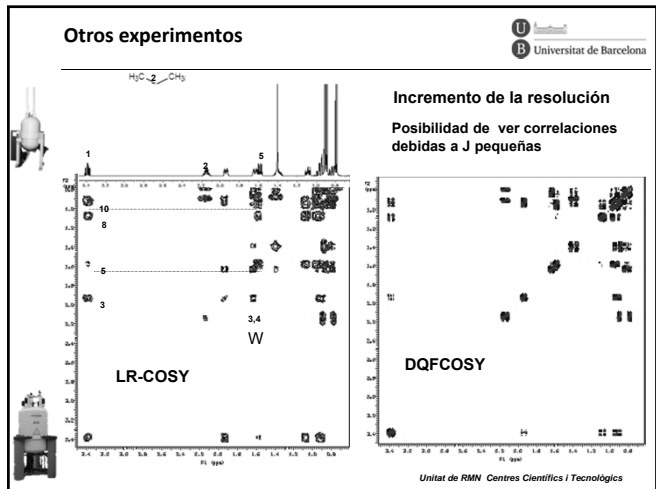
U Universitat de Barcelona

ID	$\delta$ $^1\text{H}$	$\delta$ $^{13}\text{C}$	#H		multiplicidad	Acoplamientos Hz
1	3.41	71.53	1	CH	dt	10.4x2, 4.3
2	2.17	25.82	1	CH	ds[a]	7.1x6, 2.9
3	1.97	45.03	1	CH <sub>2</sub>	dddd	12.1, 3.8x2, 2.1
4	1.66	34.51	1	CH <sub>2</sub>	dddd	3.4x2, 6.1, 12.4
5	1.61	23.10	1	CH <sub>2</sub>	dq	12.9, 3.3x3
6	1.43	31.62	1	CH	m	multiplete complejo)
7	1.35	—	--	--	--	----
8	1.11	50.12	1	CH	dddd	12.1, 10.3, 3.2x2
9	0.97	23.10	1	CH <sub>2</sub>	m	-----
10	0.95	45.03	1	CH <sub>2</sub>	m	-----
11	0.92	21.00	3	CH <sub>3</sub>	d	7.4
12	0.91	22.20	3	CH <sub>3</sub>	d	6.9
13	0.84	34.51	1	CH <sub>2</sub>	dddd	12.4x2, 3.2, 1.1
14	0.81	16.07	3	CH <sub>3</sub>	d	7.1

Unitat de RMN Centres Científics i Tecnològics








---



---



---



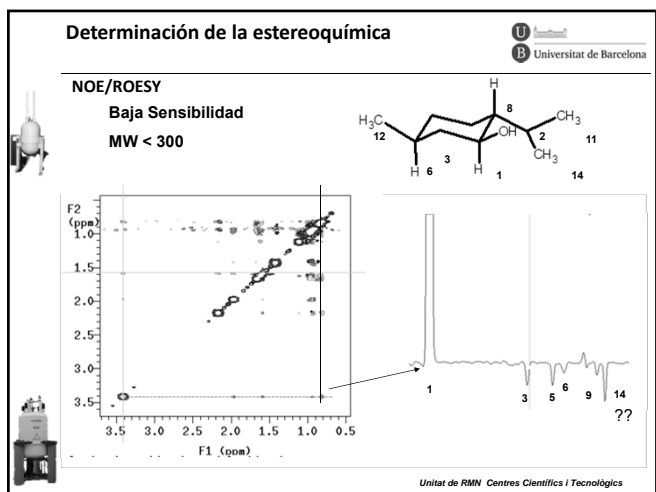
---



---



---




---



---



---



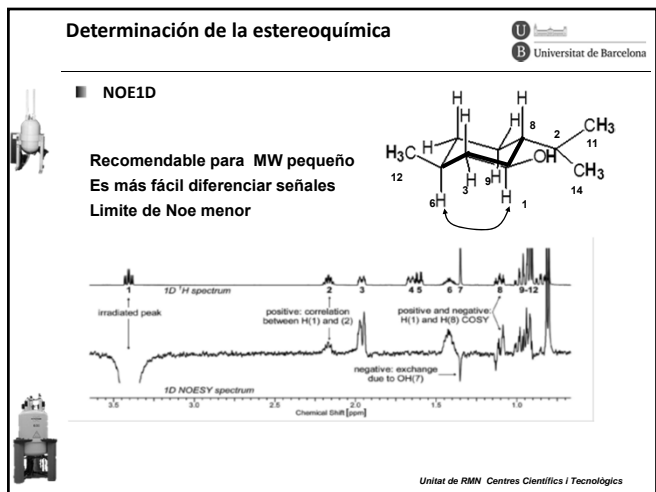
---



---



---




---



---



---



---



---



---

**Valores de las Constantes de acoplamiento 1H-1H**

Universitat de Barcelona

ID	$\delta$ <sup>1</sup> H	Acoplamientos Hz
1	3.41	10.4x2, 4.3
2	2.17	7.1x6, 2.9
3	1.97	12.1, 3.8x2, 2.1
4	1.66	3.4x2, 6.1, 12.4
5	1.61	12.9, 3.3x3
6	1.43	multiplete complejo)
7	1.35	---
8	1.11	12.1, 10.3, 3.2x2
9	0.97	-----
10	0.95	-----
11	0.92	7.4
12	0.91	6.9
13	0.84	12.4x2, 3.2, 1.1
14	0.81	7.1

**Acoplamiento vecinal <sup>3</sup>J(H,H)**

- ángulo diedro
- electronegatividad del sustituyente

$J_{AX} = 8-14$ ,  $J_{BX} = 2-4$ ,  $J_{AX} = 2-4$ ,  $J_{BX} = 2-4$

Unitat de RMN Centres Científics i Tecnològics

**Constantes de acoplamiento 1H-13C**

Universitat de Barcelona

**Acoplamientos C-H a tres enlaces**

Dependencia de la disposición  
Relación de Karplus para sistemas alifáticos

$$^3J_{CH} = 3.6 \cos^2\theta - 1.0 \cos \theta + 4.3$$

$^3J_{CH} = 6-8\text{Hz}$ ,  $^3J_{CH} = 1-3\text{Hz}$

**Acoplamientos C-H a dos enlaces**

$^2J_{CH} = 0-2\text{Hz}$ ,  $^2J_{CH} = 5-7\text{Hz}$

Unitat de RMN Centres Científics i Tecnològics

**NMR Spectroscopy**

Universitat de Barcelona

**Proposed Structure Needs to Be Consistent with ALL the observed data**

- missing peak predicted by the structure may indicate a wrong structure.

**Original Structure**

**Corrected Structure**

Figure 2. Original assignment of the (65°,10.8°,13.8°,14.5°,16.5°,17.5°,19.8°,20.5°)-A-D rings of AZA-1 and key NOEs.<sup>1,3</sup>

Figure 3. Minnesota structural model of the (65°,10.5°,13.5°,14.5°,16.5°,17.5°)-C1-C20 truncated domain of 1. The natural product has been assigned the enantiomeric configuration.<sup>1</sup>

Org. Lett., Vol. 6, No. 23, 2004

Assignment change resolved missing NOE problem

Unitat de RMN Centres Científics i Tecnològics

**NMR Spectroscopy**

Validate or Verify Accuracy of Structure by Consistency with Databases

Is the structure and experimental chemical shift assignments consistent with predicted chemical shifts based on the experimental structures?

The figure shows a flowchart starting with a 'Data set' leading to 'COCON', which generates 'Structural proposals'. These proposals undergo 'Analysis' (including 'Substructure search' and 'Calculation of  $\delta(^{13}\text{C})$ )' to reach a 'Correct Structure'. Below the flowchart are four chemical structures labeled 1-27 through 1-32, each with its calculated  $\delta(^{13}\text{C})$  value.

Figure 1. General scheme for a systematic analysis of natural products based on NMR spectroscopic data as presented in this contribution.

J. Chem. Inf. Comput. Sci. 2002, 42, 241-248

Unitat de RMN Centres Científics i Tecnològics

**NMR Spectroscopy**

Validate or Verify Accuracy of Structure by Consistency with Databases

Is the structure and experimental chemical shift assignments consistent with predicted chemical shifts based on the experimental structures?

The figure shows a 'Correct Structure' (a substituted benzene ring) and two calculated structures (C and D). Below are tables for (a)  $^1\text{H}$  NMR and (b)  $^{13}\text{C}$  NMR, comparing experimental shifts with calculated ones from Table 3.10 and ACD/2D, and computer-calculated shifts from SoftShift<sup>®</sup>.

(a)  $^1\text{H}$  NMR calculated shifts.

Experimental shifts	Calculated shifts (Table 3.10)	Computer calculated shifts ACD/2D
6.71 7.07 6.53 2.25	C: H2 = 6.53 H3 = 6.89 H6 = 6.42 Me = 2.38	D: H1 = 6.56 H2 = 6.86 H5 = 6.45 Me = 2.38
	H1 = 6.55 H3 = 6.97 H6 = 6.68	H1 = 6.53 H2 = 6.81 H6 = 6.42

(b)  $^{13}\text{C}$  NMR calculated shifts.

Experimental shifts	Calculated shifts (Table 3.10)	Computer calculated shifts ACD/2D	Computer calculated shifts SoftShift <sup>®</sup>	
136.6 121.9 126.3 131.3 152.5 116.3 20.8	C: C1 = 135.8 ✓ C2 = 121.0 ✓ C3 = 127.7 ✓ C4 = 130.1 C5 = 152.5 ✓ C6 = 115.5 Me = 22.8	D: C1 = 146.6 C2 = 118.3 C3 = 130.1 C4 = 118 C5 = 151 C6 = 115 Me = 22	C: C1 = 136 C2 = 122 C3 = 131 C4 = 122 C5 = 155 C6 = 116 Me = 21	D: C1 = 147 C2 = 122 C3 = 126 C4 = 130 C5 = 158 C6 = 113 Me = 15

Unitat de RMN Centres Científics i Tecnològics

**NMR Spectroscopy**

Numerous Examples of Incorrect Structures in the Literature

Example:

The figure shows the chemical structure of porritoxin (I) with experimental and calculated NMR assignments. It highlights 'key HMBC correlations' and compares results from Suematsu et al. (1992) and Horuchi et al. (2002).

porritoxin  
Suematsu et al. (1992)<sup>[8]</sup>

2D NMR experiments  
Horuchi et al. (2002)<sup>[9]</sup>

Verified by total synthesis

Correct Table 1: NMR Assignments for Porritoxin (I) in DMSO-d<sub>6</sub>

position	$\delta_{\text{H}}$	$\delta_{\text{C}}$	$\delta_{\text{H}}$	COSY
1		168.4		
2		50.0		
3	4.63	133.2		
4		154.2		
4'-OMe	3.87	99.2		
5		121.8		
5-Me	2.09	10.6		
6		158.6		
7	6.97	101.5		
7a		124.2		
1'	3.54 (t 5.5 Hz)	45.8		
2'	3.60 (m 5.0, 5.5 Hz)	60.4	H-2'-OH	
2'-OH	4.82 (t 5.0 Hz)			
1''	4.58 (t 6.5 Hz)	66.3	H-2'', H-3'', Me, H-4''	
2''	4.42 (t 6.5 Hz)	121.1	H-1'', H-3'', Me, H-4''	
3''		138.2		
3''-Me	1.72	19.3	H-1'', H-2''	
	1.75	26.6	H-1'', H-2''	

Angew. Chem. Int. Ed. 2005, 44, 1012 – 1044

Unitat de RMN Centres Científics i Tecnològics

**NMR Spectroscopy**



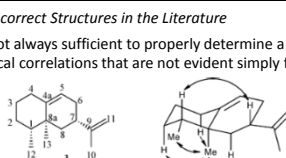


Universitat de Barcelona

---

*Numerous Examples of Incorrect Structures in the Literature*

- coupling correlation not always sufficient to properly determine a structure
- NOEs can provide critical correlations that are not evident simply from coupling



**Table 1. NMR Data for Compound 3<sup>a</sup>**

position	proton <sup>b</sup>	$\delta$ H	COSY	NOESY	$\delta$ HC	HMBC
1	H-1	1.64 (m)	H-2, H-2', H-12	H-7, H-8	38.71	H-2, H-2', H-9', H-13
2	H-2	1.61 (m)	H-1, H-2, H-3	H-13	38.71	H-1, H-2, H-3
3	H-2'	1.39 (m)	H-1, H-2, H-3, H-3'	H-13	28.26	H-2', H-4'
4	H-3	1.31 (m)	H-1, H-2, H-3, H-3'	H-13	32.30	H-3, H-5
4a	H-3'	1.28 (m)	H-2, H-2', H-3, H-4, H-4'	H-13	146.39	H-13, H-1, H-3, H-2', H-4,
5	H-4	1.41 (m)	H-2, H-2', H-3, H-4	H-13	31.50	H-4, H-4', H-6, H-6', H-8'
5a	H-4'	2.17 (m)	H-3, H-3', H-4	H-13	38.65	H-6, H-8, H-15
6	H-5	5.33 (brd, 0.0)	H-6, H-6'	H-4	117.90	H-4, H-1, H-3, H-2', H-4,
6	H-6	1.84 (m)	H-5, H-5', H-6, H-7	H-4	31.50	H-6, H-8, H-15
7	H-6'	1.84 (m)	H-5, H-6, H-7	H-4	27.10	H-4, H-6, H-6', H-10
8	H-8	1.90 (brd, 13.0)	H-6, H-6', H-8'	H-5	38.65	H-7, H-13
8a	H-8'	1.90 (brd, 13.0)	H-6, H-6', H-8'	H-5	38.43	H-1, H-5, H-13
9	H-10	1.72 (s)	H-11	H-11	148.00	H-2, H-2', H-3, H-4', H-10, H-11
11	H-11	4.71 (s)	H-10	H-10	21.09	H-2, H-11
11	H-11'	4.71 (s)	H-10	H-10	148.00	H-2, H-11
12	H-12	0.91 (s)	H-1	H-12, H-8, H-8'	20.77	H-1, H-2, H-8'
13	H-13	0.91 (s)	H-1	H-12, H-8, H-8'	15.76	H-1, H-2, H-8

<sup>a</sup> All spectra were recorded on a Bruker AMX 500, in CDCl<sub>3</sub>. Chemical shifts are expressed in ppm, and J values in parentheses are in Hz. <sup>b</sup> In proton numbering, protons at pseudoequatorial positions are denoted with prime symbol (').

J. Nat. Prod. 2004, 67, 1996-2001  
Unitat de RMN Centres Científics i Tecnològics